

**Zdenko Jecić**

Sveučilište u Zagrebu  
Arhitektonski fakultet  
HR - 10000 Zagreb, Kačićeva 26

**Prethodno priopćenje • Preliminary Communication**  
**UDK • UDC 624.04**

**Rukopis primljen • Manuscript Received: 02.04.1997.**  
**Članak prihvaćen • Article Accepted: 03.12.1997.**

## **Oblikovanje visećih konstrukcija pomoću modela**

### **Using Models to Design Suspension Structures**

#### **Ključne riječi • Key words**

arh. modeli  
metode aproksimacije  
određivanje oblika  
topometrijska metoda  
viseće konstrukcije

architectural models  
methods of approximation  
formfinding  
topometric method  
suspension structures

#### **Sažetak • Abstract**

Pri određivanju oblika visećih konstrukcija u početnoj se fazi rabe modeli. Ovim su radom razrađene mogućnosti topometrijskog postupka za snimanje oblika modela. Također je istražena upotrebljivost dobivenih podataka u kasnijim etapama procesa projektiranja, čime se predočuju mogućnosti njihove međusobne integracije.

Models are used in the initial stage of formfinding for suspension structures. This paper shows how the topometric procedure can be used to survey the shape of the model. It also investigates how the data obtained can be used in later stages of the designing process and shows possibilities for integrating various stages.

## 1. Uvod

### 1.0. Cilj istraživanja

Projektiranje visećih konstrukcija pripada specifičnim arhitektonskim i konstruktorskim problemima. Složenost postupka oblikovanja proizlazi iz činjenice da je njihov oblik definiran mehaničkim načelima na koje projektant samo posredno može utjecati. Stoga se arhitektonska idejna studija ponajprije razrađuje pomoću fizičkih modela izrađenih na temelju osnovnih skica. Unaprijed zadovoljavajući zakonitosti prirode, oni osiguravaju idealnu predodžbu njihove često zamršene prostorne geometrije te čine osnovu na temelju koje će inženjer konstruktor u sljedećoj etapi procesa, uz pomoć računala, strukturi dati optimalan oblik. Kako bi model mogao biti podloga za grafičku ili računalnu vizualizaciju, odnosno da bi mogao biti početna aproksimacija na temelju koje će se numeričkom analizom provesti optimalizacija konstrukcije, nužno je da se njegov oblik snimi. Uobičajena geodetska metoda – klasična fotogrametrija, složen je i skup postupak.

Osnovni je cilj ovog istraživanja razviti primjenu jednoga od suvremenih topometrijskih postupaka prikladnih za trodimenzionalno snimanje oblika arhitektonskih modela. Također se nastojala ispitati upotrebljivost postupka kao metode aproksimacije za daljnju nelinearnu numeričku fazu postupka određivanja oblika visećih konstrukcija.

Kriteriji razrade postupka jesu:

- mogućnost primjene postupka na tradicionalne arhitektonске modele jednostavne izrade
- automatiziranost postupka koja omogućuje izravnu upotrebu digitalnih rezultata za računalnu vizualizaciju (CAD) te numeričku analizu (FEM)
- kvaliteta aproksimacije oblika.

Takov bi postupak omogućio širu upotrebu modela u arhitektonskoj praksi, omogućujući njihovu jednostavnu računalnu vizualizaciju. Za viseće konstrukcije značio bi visok stupanj integracije pojedinih etapa procesa projektiranja, što se u novije vrijeme u literaturi često ističe kao temeljna zadaća<sup>1</sup>. Prije opisa tijeka istraživanja, radi lakšeg razumijevanja bit će prikazane osnove problematike pronalaženja oblika visećih konstrukcija.

### 1.1. Konstrukcije od užadi

Detaljno promatraljući prirodu oko sebe, primijetit ćemo raznolikost i bogatstvo njezinih oblika. Galaksije, kristali, oblaci i valovi, zajedno sa životinjama i biljkama, svoj oblik duguju zajedničkim zakonima prirode. Oni nastaju u procesu samooblikovanja, nepomućenoga ljudskim djelovanjem, pri čemu i najsitnija promjena uvjeta može značiti potpuno različit oblik. Prihvatajući zakone prirode kao univerzalne i nepromjenjive, oblik prirodne strukture nastale samooblikovanjem zadan je njezinom okolinom, odnosno tzv. rubnim uvjetima.

Ta je pojava potaknula uspostavu veze između prirode i tehnike razvojem konstrukcija koje odlikuje proces samooblikovanja. Ako se konstrukcija izradi od gipkog materijala (užadi, tkanine) koji ne može prenijeti tlačne sile ni momente savijanja, ona će pod

<sup>1</sup> Veron, P., Leon, J-C., Trompette, P. (1995), *Design of Textile Structures and Integrated Approach*, "Euro-mech" 334: 374-386, Lyon.

opterećenjem zauzeti položaj koji zadovoljava statičke uvjete ravnoteže. Njezin će oblik ovisiti isključivo o rubnim uvjetima. Time projektant, mijenjajući rubne uvjete, kreira oblik na isti način kao što lutkar, pomicući konce, upravlja marionetom.

Zadavanjem samo nekih od rubnih uvjeta (npr. samo geometrijske), dobiva se niz rješenja koja zadovoljavaju te uvjete. Odabir rješenja koje će nas zadovoljiti zadatak je procesa određivanja oblika (*formfinding*). Zahvaljujući malim dimenzijama elemenata te maloj masi konstrukcije po jedinici površine koju pokrivaju, pripadaju "lakim" konstrukcijama. To ih čini vrlo pogodnim za natkrivanje velikih raspona kao što su stadioni, športske dvorane ili izložbeni paviljoni, što dokazuju i recentne realizacije takvih konstrukcija. U tehničkom smislu izvedba je brza i svodi se na montažu tvornički prefabriciranih elemenata, što uz malu težinu te konstrukcije čini gotovo jedinstveno mobilnim. Zato su i česti primjeri uporabe tih konstrukcija za privremene namjene, npr. za nadstrešnice nad pozornicama u prirodi.

## 1.2. Određivanje oblika konstrukcija od užadi (kablova)

Određivanje oblika konstrukcija od užadi definirano je<sup>2</sup> kao postupak pronaalaženja ravnotežnog oblika koji:

- zadovoljava arhitekta i njegov funkcionalno-estetski koncept
- zadovoljava inženjera time što se može izvesti
- može se prilagoditi stvarnim potrebama zahvaljujući mogućnosti određivanja kroja (cutting pattern).

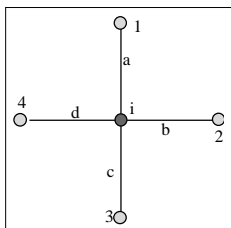
Na temelju arhitektove zamisli stručnjak obično započinje postupak zadavanjem geometrijskih rubnih uvjeta, odnosno rasporeda kablova te točaka u kojima su oni usidreni. Složenost postupka proizlazi iz činjenice da postoji više rješenja koja zadovoljavaju tako zadane rubne uvjete. Naime, konačni oblik mreže određen je trima koordinatama:  $x$ ,  $y$ ,  $z$  svakog čvora u kojemu se sijeku dva kabela, što ukupno čini  $3n$  nepoznanica, pri čemu je  $n$  broj slobodnih čvorova. Za svaki se čvor mogu napisati tri uvjeta ravnoteže u kojima se kao nepoznanice pojavljuju još i sile u pripadajućim štapovima. Konačno se dobiva sustav od  $3n$  jednadžbi s  $3n+m$  nepoznanica (ako je  $m$  ukupni broj elemenata mreže) čije rješenje nije jednoznačno. Da bi sustav postao rješiv, potrebno je dodatno uvesti neke pretpostavke i ograničenja koja će dovesti do jedinstvenog rješenja, ali i uvjetovati oblik konstrukcije. Ako se pretpostavi jednolika sila u svim elementima mreže, sustav postaje rješiv, a konstrukcija poprima oblik minimalne mreže. Ako takav oblik ne zadovoljava, mogu se zadati odnosno varirati i drukčije pretpostavke, npr.<sup>3</sup>:

- različite sile prednaprezanja
- unutarnja geometrija mreže, odnosno udaljenosti među čvorovima ili smjer kablova
- veličina projekcija na ravninu  $xy$
- odnos sile i duljine pojedinih elemenata.

Kasnije je potrebno ispitati zadovoljava li oblik dobiven jednim od tih ograničenja zahtjeve arhitekta i inženjera konstruktora te ako je potrebno, postupak ponoviti, što zajedno čini proces optimalizacije konstrukcije. Ako se do zadovoljavajućeg rješenja ne može doći, može se pribjeći i promjeni geometrije rubova.

<sup>2</sup> Linkwitz, K. (1976), *Combined Use of Computation Techniques and Models for the Process of Form-finding for Prestressed Nets, Grid Shells and Membranes*, Internationales Symposium Weitgespannte Flächenfragerwerke, 3: 84-100, Stuttgart.

<sup>3</sup> Leonhardt, F., Schlaich, J. (1972), *Vorgespannte Seilnetzkonstruktionen - Das Olympiastadion in München*, "Der Stahlbau", 9: 257-266.



**SL. 1. Promatrani čvor mreže kablova**

Izradio • Made by  
Z. Jecić

**FG. 1. Knot of cable network under observation**

### 1.3. Minimalne mreže

Već je spomenuto da jedno od ograničenja kojim se postiže jedinstveno rješenje oblika mreže kablova može biti pretpostavka da su sile u svim kablovima jednake. Takvo rješenje ima brojne prednosti. Ono je ekonomično jer je nosivost presjeka kablova posvuda u potpunosti iskorištena. Kako se tijekom izvedbe jednolikim prednapinjanjem kablovi sami pomicu u ravnotežni položaj pa se tek naknadno međusobno pričvršćuju u čvorovima, tehnološke su odlike tog rješenja još povoljnije.

Zadano ograničenje vodi obliku koji se naziva minimalnom (geodetskom) mrežom. Ono se u fizikalnom smislu definira položajem koji zauzmu kablovi opterećeni na svojim krajevima jednakim teretima, pri čemu se zajedničko težište tereta spusti u najniži položaj. U takvima će uvjetima ukupna duljina svih kablova biti najmanja.

Da bi se oblik minimalne mreže matematički odredio, promatraju se čvorovi u kojima se sijeku kablovi (sl. 1). Za svaki od  $i$ -tih čvorova mogu se napisati staticki uvjeti ravnoteže. Kako se pri određivanju oblika konstrukcije prepostavlja da na nju ne djeluje opterećenje, one glase<sup>4</sup>:

$$\sum_{j=1}^4 \frac{(x_i - x_j)}{\sqrt{(x_i - x_j)^2 + (y_i - y_j)^2 + (z_i - z_j)^2}} S_{ij} = 0 \quad \dots (1.3.1)$$

$$\sum_{j=1}^4 \frac{(y_i - y_j)}{\sqrt{(x_i - x_j)^2 + (y_i - y_j)^2 + (z_i - z_j)^2}} S_{ij} = 0 \quad \dots (1.3.2)$$

$$\sum_{j=1}^4 \frac{(z_i - z_j)}{\sqrt{(x_i - x_j)^2 + (y_i - y_j)^2 + (z_i - z_j)^2}} S_{ij} = 0 \quad \dots (1.3.3)$$

Uz pretpostavku da su sile u kablovima  $S_{ij}$  konstantne one iz izraza 1.3.1 – 1.3.3. iščezavaju.

Oblik minimalne mreže definira se određivanjem koordinata svih čvorova mreže pomoću izraza 1.3.1. do 1.3.3. Ti izrazi čine sustav nelinearnih jednadžbi koji se rješava jednom od poznatih numeričkih metoda, npr. *Newton-Raphsonovom metodom*. Nepoznanice se ne mogu izračunati izravno, već se na temelju prepostavljenoga aproksimativnog rješenja (početno rješenje) alogaritam iterativnim postupkom približava konačnom rješenju.

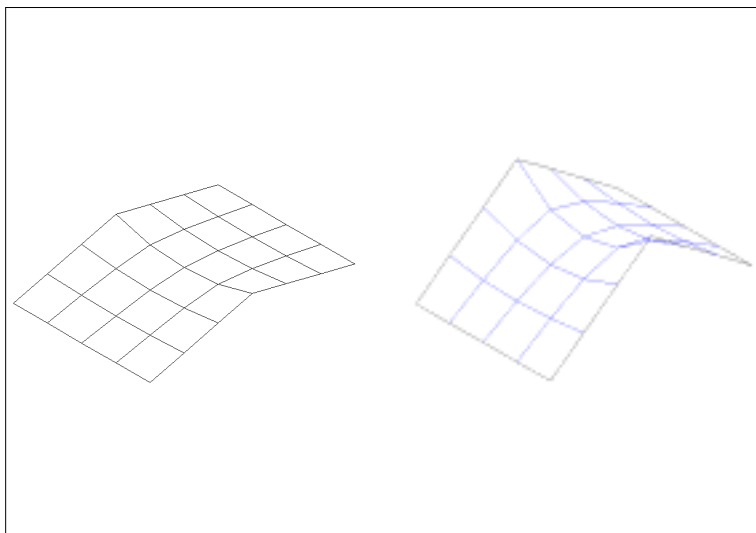
### 1.4. Konvencionalne aproksimacijske metode

Metode kojima se dobivaju početna rješenja za numeričko određivanje oblika minimalnih mreža moraju zadovoljiti zahtjeve jednostavnosti i brzine postupka, a pritom dati rezultate bliske konačnim kako bi kasniji numerički postupak rješavanja nelinearnih jednadžbi što brže konvergirao.

Uobičajeni matematički postupak je tzv. *metoda sila*<sup>5</sup>. Njegova je

**4** Dvornik, J., Lazarević D. (1995), *Prednapregnute gipke konstrukcije od užadi i tkanine, "Gradevinar"* 47/4: 185-199, Zagreb.

**5** Schek, H.-J., Gründig, L., Steidler, F. (1976), *Mathematische Methoden der Netzberechnung und Begründung des Kraftflächentheorets, Internationales Symposium Weitgespannte Flächentragwerke*, 1: 3.8, Stuttgart.



**SL. 2.** Varijanta 1.  
(lijevo), varijanta 2.  
(desno)

Izradio • Made by  
Z. Jecić

**FG. 2.** Variant 1 (left),  
variant 2 (right)

osnovna zamisao da se jednadžbe ravnoteže 1.3.1–1.3.3. lineariziraju. To se postiže uvođenjem omjera (gustoće sile):

$$q_{ij} = \frac{S_{ij}}{l_{ij}} \quad \dots (1.4.1)$$

koje se uvrste u jednadžbe ravnoteže. Time se dobivaju tri neovisna sustava čija se rješenja lako nalaze ako se kao početna pretpostavka uzme da su vrijednosti  $q_{ij}$  konstantne. Tako dobivena rješenja za jednostavne su slučajevе dobra aproksimacija.

U pojedinim primjerima ta rješenja ne zadovoljavaju pa se iz dobivenih rezultata računaju nove vrijednosti  $q_{ij}$  prema (1.4.1). Time se dobivaju točniji, "popravljeni" rezultati, a postupak se može ponoviti u više iteracija.

## 2. Aproksimacija oblika minimalne mreže

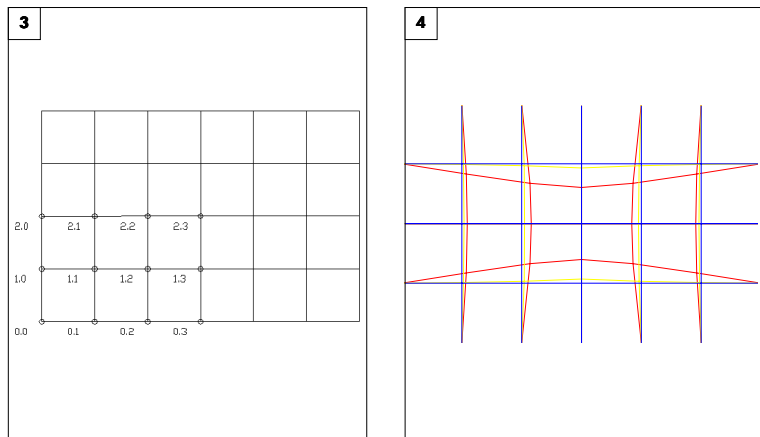
### 2.1. Zadatak

Za istraživanje mogućnosti eksperimentalnog određivanja približnog oblika minimalne mreže odabran je zadatak jednostavne geometrije rubova. Nad tlocrtom  $24 \times 16$  m trebalo je razapeti mrežu s kablovima usidrenima na svakih 4 m tlocrta. Rubovi duljih stranica na svojoj su sredini u 1. varijanti uzdignuti 3m, a u 2. varijanti 9 m (sl. 2). Konačni oblik konstrukcije prepostavljen je kao minimalna mreža.

Kako bi se omogućila valorizacija eksperimentalnih rezultata, konačni je oblik konstrukcije početno numerički proračunan na temelju prethodnih rezultata konvencionalne metode sila koji su popravljeni u jednoj iteraciji.

### 2.2. Približni oblik određen metodom sila

Približni se oblik metodom sila određuje prema izrazima 1.3.1–1.3.3, 1.4.1. U tu je svrhu zbog praktičnih razloga primjenjena numeracija čvorova s dvostrukim indeksima prema slici 3. S obzirom

**SL. 3. Numeracija čvorova**Izradio • Made by  
Z. Jecić**FG. 3. Numeration of knots****SL. 4. Položaj kablova u tlocrtu**Izradio • Made by  
Z. Jecić**FG. 4. Position of cables in the ground plan**

na to da struktura ima dvije ravnine simetrije, broj promatranih čvorova čini četvrtinu ukupnoga. Početna vrijednost gustoće sile određena je kao konstantna za sve elemente konstrukcije, odnosno:

$$q_{ij} = \text{const.} = 0,25.$$

Zbog tog uvjeta mreža je u projekciji na ravninu xy ortogonalna. Preostaje samo da se odrede z koordinate promatranih čvorova, što za šest slobodnih čvorova daje sustav od šest jednadžbi. Rezultati su prikazani u tablicama I. i II.

Kako bi rezultati bili što bliži konačnom obliku minimalne mreže, rezultati dobiveni metodom sila popravljeni su u jednoj iteraciji. Za svaki je element mreže izračunana nova, pripadajuća gustoća sila  $q_{ij}$ . Ona je određena na temelju duljine elementa  $l_{ij}$ , uz pretpostavku da je  $S_{ij} = \text{const.} = 1,00$ .

Zbog simetrije unaprijed su poznate koordinate slobodnih čvorova 1,3 i 2,3 po x-u, te čvorova 2.1, 2.2. i 2.3. po y-u. Popravljeni rezultati također su prikazani u tablicama I. i II. Odstupanje tih rezultata od početnih prikazuje slika 4.

### 2.3. Konačni računski oblik minimalne mreže

Konačni oblik minimalne mreže određen je primjenom izraza 1.3.1 –1.3.3. Kako i u ovom primjeru zbog simetrije pojedine nepoznance otpadaju, trebalo je riješiti sustav od 13 nelinearnih jednadžbi s 13 nepoznanica, čime se u cijelosti definira geometrija minimalne mreže. Sustav je riješen numerički uz pomoć programskog paketa *Mathematica*®, čiji je algoritam utemeljen na Newtonovoj metodi iteracije. Kao početni rezultati u blizini kojih računalo počinje tražiti konačna rješenja uvrštene su koordinate čvorova dobivene popravljenom iteracijom metode sila. Konačne koordinate slobodnih čvorova minimalne mreže prikazane su u tablicama I. i II. te na slici 4.

Iz rezultata je vidljivo da koordinate istih čvorova dobivene u pojedinim etapama procesa znatnije odstupaju u 2. varijanti, što je posljedica veće zakrivljenosti. Zato je za eksperimentalnu fazu istraživanja odabrana ta varijanta, kako bi se osigurala vjerodostojnost.

Var. 1.		$X_{ij}$			$Y_{ij}$			$Z_{ij}$		
Čvor	m. sila	pop. rez	min. mreža	m. sila	pop. rez	min. mreža	m. sila	pop. rez	min. mreža	
0,0			0,000			0,000			0,000	
0,1			4,000			0,000			1,000	
0,2			8,000			0,000			2,000	
0,3			12,000			0,000			3,000	
1,0			0,000						0,000	
1,1	4,000	4,015	4,033	4,000	4,005	4,092	0,819	0,821	0,815	
1,2	8,000	8,020	8,062	4,000	4,018	4,180	1,526	1,526	1,510	
1,3			12,000	4,000	4,041	4,241	1,923	1,914	1,880	
2,0			0,000			8,000			0,000	
2,1	4,000	4,019	4,044			8,000	0,750	0,753	0,750	
2,2	8,000	8,024	8,078			8,000	1,361	1,362	1,356	
2,3			12,000			8,000	1,642	1,638	1,624	

Var. 2.		$X_{ij}$			$Y_{ij}$			$Z_{ij}$		
Čvor	m. sila	pop. rez	min. mreža	m. sila	pop. rez	min. mreža	m. sila	pop. rez	min. mreža	
0,0			0,000			0,000			0,000	
0,1			4,000			0,000			3,000	
0,2			8,000			0,000			6,000	
0,3			12,000			0,000			9,000	
1,0			0,000						0,000	
1,1	4,000	4,107	4,294	4,000	4,041	4,694	2,457	2,507	2,411	
1,2	8,000	8,152	8,556	4,000	4,136	5,310	4,577	4,586	4,305	
1,3			12,000	4,000	4,289	5,609	5,770	5,593	5,023	
2,0			0,000			8,000			0,000	
2,1	4,000	4,140	4,358			8,000	2,249	2,317	2,273	
2,2	8,000	8,183	8,637			8,000	4,083	4,122	4,024	
2,3			12,000			8,000	4,926	4,858	4,608	

### 3. Eksperimentalno određivanje približnog oblika

#### 3.1. Osnovne pretpostavke

Odabir vrste modela i tehnologije njegove izrade te odabir mjernog postupka uvjetovale su sljedeće osnovne pretpostavke:

- 1.izrada modela mora biti jednostavna, od lako dostupnog materijala i u cijelini ekonomična,
- 2.metoda izrade modela, kao i postupak mjerjenja, mora osigurati da rezultati dovoljno točno aproksimiraju oblik za daljnju numeričku analizu,
- 3.proces mora biti što automatiziraniji, a da pritom bude osigurana kompatibilnost podataka pri razmjeni u raznim etapama postupka.

#### 3.2. Modeli

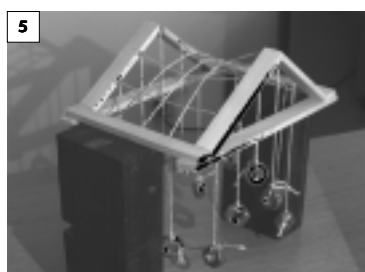
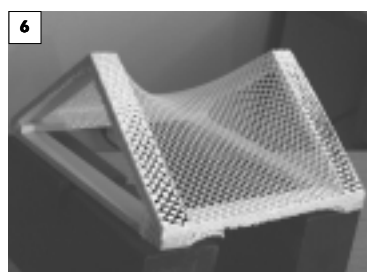
Kako je osnovni cilj istraživanja dokazati upotrebljivost modela kakvi se rabe u početnoj fazi arhitektonskog projektiranja, odabrani su oni koji se mogu izraditi u vrlo kratkom vremenu te s

**TABL. I. Varijanta 1.**  
Sastavio • Made by  
Z. Jecić

**TABLE I. Variant 1**

**TABL. II. Varijanta 2.**  
Sastavio • Made by  
Z. Jecić

**TABLE II. Variant 2**

**SL. 5. Model 1.****FG. 5. Model 1****SL. 6. Model 2.****FG. 6. Model 2**

najmanje laboratorijske opreme. Kako bi rezultati zadovoljili, nužno je da oni budu izrađeni u skladu s nužnim postulatima modelske sličnosti, pri čemu mora biti osigurana geometrijska sličnost. Kako se u procesu pronaalaženja oblika ne promatra vanjsko opterećenje, preostaju samo sile prednaprezanja, čiji međusobni omjeri unutar modela moraju odgovarati projektiranim. Ako je očekivani ishod minimalna mreža, sile prednaprezanja moraju biti jednake, a modeli takvi da osiguraju njihovu jednoličnu raspodjelu po elementima.

Na konkretnom su zadatku ispitane dvije inačice modela. U obje je geometriju rubova podržavao drveni okvir izrađen od letvica 15/3 mm u mjerilu 1:1.6, s odstupanjima od  $\pm 1,5\%$ .

*Model 1.* (sl. 5) najsličniji je stvarnoj konstrukciji te odražava fizikalno načelo minimalne mreže. Prema projektiranom rasteru, na okvir su slobodno ovješene niti konca približne debljine 1mm, na krajevima opterećene utezima jednakne težine. U idealnim uvjetima takvo bi stanje nužno trebalo dovesti do oblika minimalne mreže uz pretpostavku da niti mogu slobodno međusobno klizati bez trenja. Kako ovo nije bilo moguće ostvariti, došlo je do odstupanja od idealiziranog oblika, što pokazuju i konačni rezultati.

*Model 2.* (sl. 6) izrađen je napinjanjem elastične mrežaste tkanine preko okvira. Time se izravno ne simulira minimalna mreža. Oblik koji se dobiva zapravo je gusto diskretizirana ploha. Vizualnom kontrolom ujednačenosti veličine okana nastojalo se uvesti jednoliko prednaprezanje i ostvariti oblik jednakih vrijednosti unutarnjih sila. Takvo stanje odgovara minimalnoj plohi. Kao što je u pretvodnom odjeljku rečeno, iako različitoga fizikalnog karaktera, minimalna ploha u većini slučajeva dobro aproksimira minimalnu mrežu (i obratno)<sup>6</sup>.

S obzirom na to da je izrada modela od elastične tkanine mnogo jednostavnija od končastih, ta vrsta modela bolje odgovara osnovnim pretpostavkama.

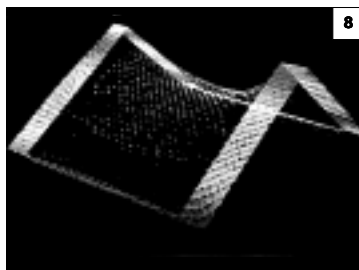
### 3.3. Mjerni postupak

Osnovna je pretpostavka da mjerni postupak bude jednostavan za rukovanje i brz te da rezultate daje u digitaliziranom obliku pogodnome za daljnju obradu. Te su pretpostavke upućivale na optičku, nekontaktnu metodu, pri kojoj je proces snimanja trodimenzionalnih karakteristika objekta digitaliziran. Stoga je izabran topometrijski postupak uporabom mjernog sustava ATOS (*Advanced Topometric Sensor*) proizvođača GOM-a (sl. 7). Riječ je o uređaju najnovije generacije koji se sastoji od glavnoga mjernog instrumenta koji čine dvije CCD kamere i projektor, uređaja za analogno-digitalnu konverziju te pripadajućeg softvera. Za razliku od sličnih stereofotogrametrijskih uređaja, u kojih je nužno

<sup>6</sup> Mollaert, M. (1995), *The Design of Textile Structures*, "Euromech" 334: 296-310, Lyon.



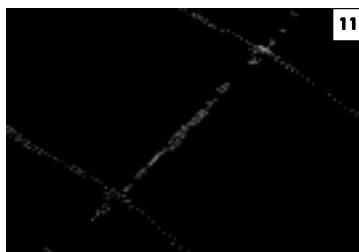
7



8

**SL. 7. Mjerni uređaj ATOS****FG. 7. ATOS measuring equipment**

10



11

**SL. 8. Oblak****FG. 8. Cloud****SL. 10. Reducirani broj točaka****FG. 10. Reduced number of points****SL. 11. Dva susjedna čvora mreže****FG. 11. Two neighbouring knots in the network**

određivanje mjernih točaka na snimanom objektu, taj se sustav temelji na izmijenjenim načelima. Na mjerni se objekt automatski projicira 12 različitih rastera, čime se dvjema kamerama snime 24 slike iz kojih računalno nakon digitalizacije određuje trodimenzionalne koordinate svake od 439 296 točaka (pixela) kamere. Time se dobiva tzv. oblak točaka koje predočuju oblik modela (sl. 8). Zahvaljujući automatiziranoj kalibraciji, pogreška pri standardnoj veličini mjernog objekta iznosi  $\pm 0,025$  mm.

Postupak snimanja modela prilično je jednostavan. Nakon kalibracije kamere (sl. 9) model se umeće u vidno polje kamera, što se istodobno prati na zaslонu računala te se korigira osvijetljenost objekta. Pokretanjem postupka mjerjenja računalo, upravljujući kamerama i projektorom, prikuplja digitalizirane slike te ih obraduje u konačni rezultat. On je prikazan na ekranu u obliku trodimenzionalne slike, a zapisan je kao tekstualna datoteka s koordinatama točaka. Tako dobiveni podaci mogu se rabiti za daljnju obradu nekim od programskega paketa CAD ili FEM.

Broj mjernih točaka za 1. model iznosio je 32 432, a za 2. model 48 618, dok je nakon redukcije (sl. 10) mjerni dio objekta smanjen na 364, odnosno 3 181. Za 1. model tražile su se koordinate točaka u kojima se sijeku po dvije niti, a izbor je provođen izravno, uporabom sistemskog softvera (sl. 11). Kako bi se eksperimentalni rezultati mogli uspoređivati, nužno ih je bilo transformirati u mjerilo i referentni koordinatni sustav računskog modela. Uobičajena matematička metoda putem matrice transformacije pojednostavljena je primjenom programskog paketa AutoCAD®. Za tu su svrhu upotrijebljene izmjerene koordinate triju točaka, koje su uspoređene s odgovarajućim koordinatama računskog modela. Rezultat je prikazan na slici 13.

Problem pri odabiru točaka modela 2. bila je činjenica da se sjedišta projektiranih kablova na plohi nisu mogla predvidjeti. Moguće je bilo odrediti samo koordinate Z točaka koje u ravnini xy čine ortogonalni raster, što je ekvivalentno početnim rezultati-

**SL. 9. Kalibracija sustava****FG. 9. System calibration**

ma metode sila. Kako mrežasta tkanina ne čini kontinuiranu plohu, mjestimično su se pojavila odstupanja od ortogonalnog rastera u maksimalnoj vrijednosti polovice oka mreže, znači  $\pm 1,2$  mm. Da bi se odredile točke, najprije je napravljena konverzija računskoga koordinatnog sustava već prikazanim postupkom te zatim odabrale točke čije su koordinate  $X$  i  $Y$  bile najbliže onima ortogonalnog rastera.

Za usporedbu oblika što ga daje model od mrežaste tkanine i minimalne mreže naknadno su odčitane koordinate točaka koje se nalaze u blizini čvorova minimalne mreže.

### 3.4. Rezultati

Koordinate čvorova dobivene mjerjenjem modela 1. i 2. prikazane su u tablici IV. zajedno s matematički dobivenim rezultatima. Kako je najveća devijacija rezultata zabilježena u smjeru elemenata mreže od čvora 0,3 preko 1,3 do čvora 2,3, njihov je položaj prikazan simultano u projekciji na ravninu  $yz$  (sl. 13). Budući da je konačni cilj metodama aproksimacije dobiti što bliži oblik minimalne mreže, za usporedbu rezultata dobivenih pojedinim metodama izračunan je pad prednapona u elementu 1,3–2,3 u odnosu prema jediničnomu u elementu 0,3–1,3 (tabl. III.).

**TABL. III.** Pad prednapona pri pojedinim metodama

Sastavio • Made by  
Z. Jecić

**TABLE III.** Decrease of  
prestressing force in  
particular methods

Štap	Metoda sila	Pop. rez.	Model 1.	Model 2.	Min. mreža
1,3-2,3	0,7952	0,8683	0,9015	0,7892	1,0001

Kako rezultati pokazuju, najbliža aproksimacija minimalne mreže dobivena je mjerjenjem modela 1, a mogla bi se računski dosegnuti samo višekratnim ponavljanjem postupka metode sila. Ipak, dobivena mreža pokazuje znatnije lokalne nepravilnosti, što je posljedica nemogućnosti da se ukloni trenje među nitima. Uporabom pogodnijeg materijala, npr. vrlo fleksibilne žice, te podmazivanjem, uz prethodno vibriranje te veću masu utega, sigurno se može postići oblik vrlo sličan minimalnoj mreži.

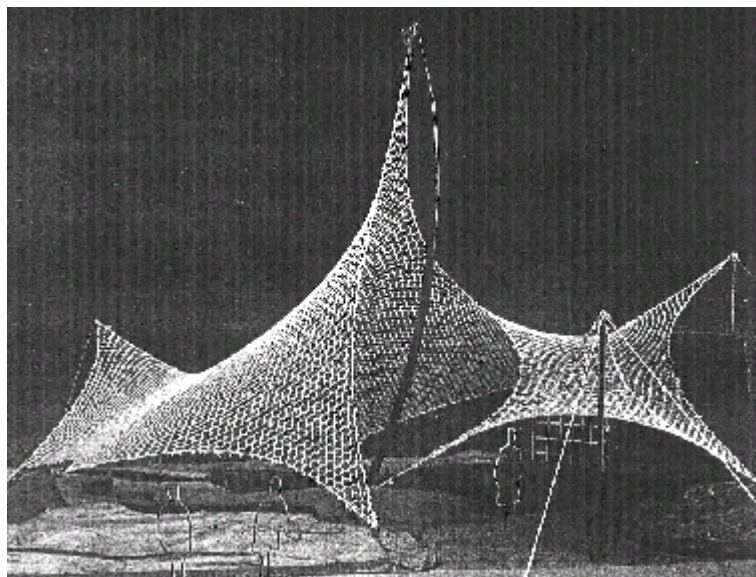
Postupkom mjerjenja modela 2. dobiveni su malo slabiji aproksimativni rezultati nego što ih daje metoda sila. Glavni je uzrok tome nemogućnost točnijeg određivanja referentnih točaka. Izuzevši tu činjenicu, model 2. vrlo dobro aproksimira minimalnu mrežu, što proizlazi iz prikaza odstupanja plohe od mreže u smjeru osi  $z$  u pojedinim čvorovima (sl. 14). Točniji rezultati mogli bi se postići tkaninom sitnijih okana. Bolja kontrola jednolikosti prednapinjanja također bi se postigla s tkaninom šesterokutnih okana.

**TABL. III. Usporedni  
prikaz eksperimentalnih  
rezultata**

Sastavio • Made by  
Z. Jecić

**TABLE III.** Parallel  
presentation of  
experimental results

Čvor	Var. 2.		$X_{ij}$			$Y_{ij}$			$Z_{ij}$		
	Model	Model	Min. mreža	Model	Model	Min. mreža	Model	Model	Model	Model	Min. mreža
1,1	4,4175	4,0043	4,294	4,3801	3,9977	4,694	2,4637	2,5136	2,411		
1,2	8,7238	8,1501	8,556	4,9227	3,9787	5,310	4,4862	4,6267	4,305		
1,3	12,1201	12,1976	12,000	4,9519	3,9287	5,609	5,4280	5,4119	5,023		
2,1	4,5079	3,8888	4,358	8,0331	7,9915	8,000	2,3958	2,2618	2,273		
2,2	8,8727	7,9404	8,637	8,0359	7,9024	8,000	4,1453	4,0647	4,024		
2,3	12,1843	11,7474	12,000	7,9797	8,0151	8,000	4,8287	4,6702	4,608		

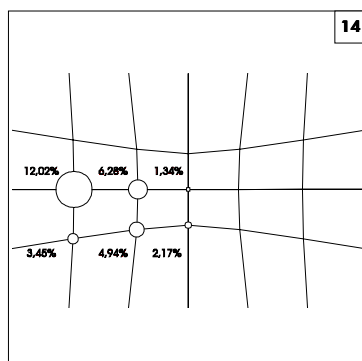
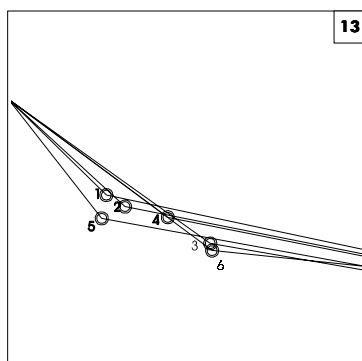


**SL. 14.** Jednostavni fizički model visećeg krova

Izvor • Source

Gaß, S.: Experimente IL 25, Institut für leicht Flächen-tragwerke, Stuttgart, 1990.

**FG. 14.** Simple phisical model of a tensile structure



**SL. 13.** Uspoređni karikirani prikaz rezultata

- 1 metoda sila
- 2 popravljeni rezultati
- 3 minimalna mreža
- 4 model 1.
- 5 model 2.
- 6 model 2. u blizini min. mreže

**FG. 13.** Parallel caricature presentation of results

**SL. 14.** Odstupanja plohe modela 2.

**FG. 14.** Deviation of Model 2 surface

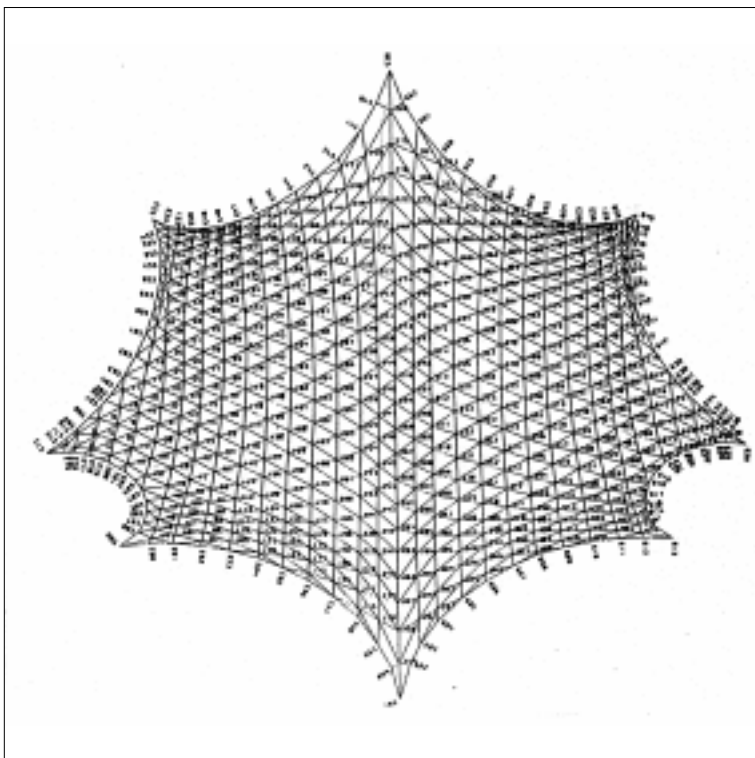
### 3.5. Zaključak

Rezultati dobiveni svim metodama u ovom su konkretnom primjenu dali dovoljno dobru aproksimaciju te je numerički postupak određivanja minimalne mreže relativno brzo konvergirao uz neznatna odstupanja. To upućuje na zaključak da se modeli izrađeni od mrežaste tkanine u fazi razrade arhitektonske ideje mogu primijeniti za kasniju numeričku analizu. Pri vrlo velikim zakrivljenostima ploha može se očekivati potreba izrade preciznijih modela, odnosno mogu se uporabiti končasti modeli, ali njihova je ekonomičnost upitna. S obzirom na to da je cijeli postupak eksperimentalne aproksimacije jednostavan i brz, dokazana je mogućnost učinkovite integracije arhitektonskog segmenta u cjeloviti proces određivanja oblika i optimalizacije gipkih konstrukcija. Također je potvrđena mogućnost primjene postupka za računalnu vizualizaciju u svim područjima arhitekture u kojima se oblik građevine određuje

**SL. 15.** Kompjuterski model visećeg krova za analizu metodom konačnih elemenata

Izvor • Source  
SFB 64, Abschlußbericht  
Teilprojekt F1, 1984.

**FG. 15.** Computer model for FEM calculations



**Literatura • Bibliography**

1. Dvornik, J., Lazarević D. (1995), *Prednapregnute gipke konstrukcije od užadi i tkanine*, "Građevinar" 47/4: 185-199, Zagreb
2. Leonhardt, F., Schlaich, J. (1972), *Vorgespannte Seilnetzkonstruktionen - Das Olympiadach in München*, "Der Stahlbau", 9: 257-266.
3. Linkwitz, K. (1976), *Combined Use of Computation Techniques and Models for the Process of Formfinding for Prestressed Nets, Grid Shells and Membranes*, Internationales Symposium Weitgespannte Flächentragwerke, 3: 84-100, Stuttgart
4. Mollaert, M. (1995), *The Design of Textile Structures*, "Euromech" 334: 296-310, Lyon
5. Schek, H.-J., Gründig, L., Steidler F. (1976), *Mathematische Methoden der Netzberechnung und Begründung des Kraftdichtenansatzes*, Internationales Symposium Weitgespannte Flächentragwerke, 1: 3.8, Stuttgart
6. Veron, P., Leon, J-C., Trompette, P. (1995), *Design of Textile Structures and Integrated Approach*, "Euromech" 334: 374-386, Lyon

**Summary • Sažetak****Using Models to Design Suspension Structures**

Architects must sometimes use physical models to analyze and define the shape of a building, part of a building or its structure. This is necessary when the spatial geometry of the designed object is very complex or is the result of certain physical laws. The shape determined by a model can be directly used for spatial presentation, it can be a foundation for further graphical or computerized visualization, or be the initial approximation of statistical analysis that will optimize the structure. In each of these cases it is necessary for the shape of the model to be surveyed, i.e. described with a set of data that can be directly used in further stages of designing. Classical geodesic methods of 3-D model surveying (e.g. photogrammetry) have drawbacks in the case of complex and expensive procedures. Suspension structures are one of the major problems for which models are necessarily used to define the initial shape of the structure. The textile membrane, i.e. the network of cables, will seek to comply with static equilibrium conditions and acquire a shape determined by the character and geometry of boundary conditions. Formfinding is based on physical and mathematical formulations. The architect who does not have this knowledge must rely on models which, as physical structures, behave similarly to real structures and are thus an excellent approximation for actual forms. The basic purpose of this paper is to develop a modern topometric procedure for surveying a 3-D model of suspension structures, and to investigate possibilities of using the results for further numerical analysis. The procedure was studied on the simple example of a minimal network. For that purpose two simple models were made, one of elastic fabric, the other a network of threads equally burdened at the ends. The highly automated topometrical measuring equipment ATOS, which gives the model's very precise spatial geometry in digitized form, was used to survey the forms. The quality of form approximation using models was tested by comparison with numerically calculated ideal results. Deviations were on the level of those originating from numerical methods of approximation. This confirms the great possibilities of using this method for designing suspension structures, and its advantage over traditional methods. The free flow of data between particular stages in the process gives a high degree of integration which makes designing easier and more economical.

**Zdenko Jecić**

**PROSTOR**

ISSN 1330-0652

CODEN PORREV

UDK • UDC 71/72

GOD. • VOL. 5(1997)

BR. • NO. 1(13)

STR. • PAG. 1-200

ZAGREB, 1997.

siječanj - lipanj • January - June

Z. Jecić: Oblikovanje visećih ...

Pag. 83-96